НАУЧНЫЕ ИССЛЕДОВАНИЯ И РАЗРАБОТКИ

Д. т. н. А. В. Хмелёв (⊠)

Рижский технический университет, Институт силикатных материалов, г. Рига, Латвия

УДК 666.762.11:666.9.022.6]:66.046.44

ПОЛУЧЕНИЕ МУЛЛИТ-ТІС-ТІN-МАТЕРИАЛОВ ПЛАЗМЕННО-ИСКРОВЫМ СПОСОБОМ И ИХ СВОЙСТВА

Исследован состав фаз синтезированных порошков TiC и TiN, микроструктура, относительная плотность, открытая пористость, линейная усадка, модуль упругости, твердость по Виккерсу, предел прочности при сжатии и линейная зависимость модуля упругости и предела прочности при сжатии муллит-TiC-TiN-образцов с различным соотношением TiC и TiN, спеченных плазменно-искровым способом в интервале 1200-1600 °C с нагрузкой прессования 30 МПа.

Синтезированные порошки характеризуются интенсивной кристаллизацией ТіС и ТіN. Спеченные образцы с различным соотношением ТіС и ТіN показывают интенсивную муллитизацию в диапазоне 1200–1600 °C. Образцы с соотношениями ТіС/ТіN 50/50, 70/30 и 90/10 мол. % показывают постепенный рост ТіС от 1200 до 1400 °C по сравнению с более интенсивным увеличением ТіС от 1400 до 1600 °C. Увеличение концентрации ТіС и уменьшение содержания ТіN в спекаемых смесях порошков при 1500 °C способствуют формированию равномерной, плотно спекшейся микроструктуры с наличием пор небольших размеров. Образцы с соотношениями ТіС/ТіN 50/50 и 70/30 мол. % показывают более интенсивное увеличение относительной плотности и линейной усадки; снижение открытой пористости и увеличение модуля упругости, твердости по Виккерсу и предела прочности при сжатии. Это приводит к увеличению стойкости к трещинообразованию в образцах с формированием микротрещин с относительно прямолинейной траекторией распространения (состав М50ТіС50ТіN) и отсутствием микротрещин (состав М70ТіС30ТіN) вокруг отпечатков вдавливания, с наибольшей линейной зависимостью модуля упругости и предела прочности при сжатии образцов в интервале 1200–1600 °C.

Ключевые слова: муллит-TiC-TiN, плазменно-искровое спекание, свойства.

ВВЕДЕНИЕ

олучение бескислородных материалов однородного состава, в частности карбида, нитрида титана и циркония, нитрида бора с развитой кристаллизацией безоксидных фаз, с высокими показателями относительной плотности (степени спекания), твердости по Виккерсу, предела прочности при изгибе и сжатии при высокой температуре, плазменно-искровым или горячим изотактическим спеканием сопряжено с определенными трудностями: развитием твердофазного спекания бескислородных порошков без их перехода в вязкотекучее (пластическое) состояние; неоднородным заполнением пор веществом и спеканием частиц в продольном и/или поперечном направлении форм спекаемых порошков, особенно цилиндрической конфигурации; формированием не полностью и неравномерно спекшейся микроструктуры образца из-за выраженных ковалентных связей и низкого коэффициента диффузии в спекаемых порошках

А.В. Хмелёв
E-mail: aleksejs.hmelov44@gmail.com
aleksejs.rtu1@inbox.lv

[1-4]. Это снижает стойкость материалов к трещинообразованию в ходе определения показателей физико-механических свойств, что указывает на их хрупкость и недостаточную упругость (эластичность) [2-4]. Для улучшения показателей вышеуказанных свойств и снижения хрупкости материалов применяется плазменно-искровое спекание смесей безоксидных порошков, в частности TiN и BN, TiC и ZrC, в температурном интервале 1500-2100 °C, с формированием твердых растворов (фаз внедрения) [5-7]. Однако свойства таких материалов во многом зависят от соотношений безоксидных порошков и размера катионных радиусов различных металлов, входящих в состав соединений, при этом не всегда обеспечивается получение максимально спеченных материалов [5-7].

В этой связи используется другой подход, связанный с плазменно-искровым спеканием относительно небольшого количества смеси безоксидного порошка с оксидным порошком, например корундовым, муллитовым [8–11], или смеси безоксидных порошков, в частности TiC и ZrC, в различных пропорциях с порошками $\mathrm{Al_2O_3}$ и $\mathrm{SiO_2}$ [12]. При этом изначально спекаются частицы оксидного порошка, способствуя переносу вещества к границам частиц оксидного и безоксидного по-

рошков и в результате стимулируя спекание частиц бескислородного порошка с ростом температуры [8-11]. Такой механизм спекания обусловлен высоким коэффициентом диффузии и развитыми пластическими свойствами оксидного порошка [8, 10]. В результате интенсивнее образуются безоксидные фазы, формируется равномерно спеченная микроструктура с минимальным количеством пор. Это способствует снижению внутренних напряжений в объеме спеченных материалов, повышению стойкости к трещинообразованию и улучшению упругих и физико-механических свойств [8, 9, 11]. При спекании смеси бескислородных порошков с порошками Al₂O₃ и SiO₂ указанные процессы и свойства материалов зависят от соотношений безоксидных порошков [12].

Цель работы — получение муллит—TiC—TiN-образцов плазменно-искровым методом в диапазоне 1200-1600 °C с усилием прессования 30 МПа из приготовленных смесей порошков Al_2O_3 , SiO_2 , TiC и TiN, определение состава фаз синтезированных порошков TiC и TiN, изучение фазового состава, микроструктуры, относительной плотности, открытой пористости, линейной усадки, модуля упругости, твердости по Виккерсу и предела прочности при сжатии образцов с различным соотношением TiC и TiN.

ЭКСПЕРИМЕНТАЛЬНАЯ ЧАСТЬ

Методика получения смеси порошков Al₂O₃ и SiO₂, TiC и TiN

Для приготовления смеси порошков Al_2O_3 и SiO_2 использовали Al_2O_3 (Aldrich, Бельгия, чистота 97,5 %) и SiO_2 (Меrck, Германия, чистота 97,5 %). Компоненты тщательно взвешивали в массовой пропорции (см. таблицу), отвечающей стехиометрии муллита, равной 3:2, и перемешивали в планетарной мельнице (RETSCH PM 400) в течение \sim 10 мин с получением однородной смеси.

Синтез порошков ТіС и ТіN проводили в плазмохимической установке в вакууме при $1600\,^{\circ}$ С в течение 1 ч с использованием порошков TiO $_2$ (Aldrich, Бельгия, чистота $98,0\,^{\circ}$), углерода (Merck, Германия, чистота $97,5\,^{\circ}$) и азота (Aldrich, Бельгия, чистота $99,5\,^{\circ}$) по реакциям:

$$TiO_2 + 2C \rightarrow TiC + CO_2, \tag{1}$$

$$TiO_2 + N_2 \rightarrow TiN + NO_2. \tag{2}$$

Порошки TiC и TiN перемешивали в массовых пропорциях, указанных в таблице, в плане-

тарной мельнице (RETSCH PM 400) в течение ~10 мин с получением однородных смесей.

Полученную смесь порошков Al₂O₃ и SiO₂ перемешивали с приготовленной смесью порошков TiC и TiN в планетарной мельнице (RETSCH PM 400) в течение ~10 мин с получением однородной смеси для спекания. Смеси компонентов насыпали в графитовую пресс-форму диаметром 30 мм и спекали плазменно-искровым методом (SPS, Summimoto, модель SPS 825. CE, Dr. Sinter, Япония) в вакууме (6 Па) с усилием прессования 30 МПа и выдержкой 2 мин в диапазоне 1200–1600 °C со скоростью нагрева 100 °C/мин.

Методика определения показателей свойств полученных порошков и спеченных образцов

Фазовый состав синтезированных порошков и спеченных образцов определяли с помощью рентгенофазового анализа (модель PANAlytical X'Pert PRO) с Си K_{α} -излучением, интервалом сканирования $2\theta = 10-60^{\circ}$ и скоростью вращения гониометра 2° в минуту.

Микроструктуру спеченных образцов исследовали на сканирующем электронном микроскопе (SEM-analysis модель JSM - T200, Япония).

Относительную плотность образцов определяли как отношение кажущейся плотности образцов к их теоретической плотности и рассчитывали по формуле

$$\rho = (\rho_{\text{\tiny Kax}}/\rho_{\text{\tiny Teop}}) \cdot 100,$$

где ρ — относительная плотность, %; $\rho_{\text{каж}}$ — кажущаяся плотность, г/см³, определяемая гидростатическим взвешиванием (методом Архимеда); $\rho_{\text{теор}}$ — теоретическая плотность, г/см³, муллита 3,17, TiC 4,93, TiN 5,22.

Открытую пористость образцов определяли гидростатическим взвешиванием (методом Архимеда) и рассчитывали по формуле

$$\varphi = (m_0 - m_1/m_0) \cdot 100,$$

где ϕ — открытая пористость, %; m_0 — масса образца, насыщенного водой, Γ ; m_1 — масса сухого образца, Γ .

Линейную усадку рассчитывали как разницу размеров диаметра образцов до и после спекания и определяли по формуле

$$\Delta l = (l_0 - l_1/l_0) \cdot 100,$$

где Δl — линейная усадка, %; l_0 — диаметр образца до плазменно-искрового спекания, мм, l_0 =

Массовые пропорции компонентов в исходных смесях системы муллит-TiC-TiN*

Показатели	Обозначение состава				
	M10TiC90TiN	M30TiC70TiN	M50TiC50TiN	M70TiC30TiN	M90TiC10TiN
Содержание, мол. %:					
TiC	10	30	50	70	90
TiN	90	70	50	30	10
Macca компонентов TiC/TiN, г,	9,7 / 90,3	29,32 / 70,68	49,26 / 50,74	69,23 / 30,77	89,69 / 10,31
на 100 г. смеси					
* Отношение 3Al ₂ O ₃ /2SiO ₂ , г, на 100 г смеси для всех составов 71,8/28,2.					

=30 мм; l_1 — диаметр образца после плазменноискрового спекания, мм.

Данные об относительной плотности, открытой пористости и линейной усадки для каждого из спеченных составов (см. таблицу) при конкретной температуре отображали как среднее значение результатов 5 измерений.

Модуль упругости определяли регистрированием звуковых волн, вызываемых ударом маленького полимерного «молоточка» со стальным шариком диаметром 4 мм на конце по поверхности данного образца, находящегося на двух параллельных металлических опорах, покрытых мягким полимерным слоем, и распространяющихся через испытуемый образец. Создаваемые звуковые волны записывались специальным микрофоном и анализировались с использованием преобразователя Фурье. Для определения модуля упругости применяли оборудование Вuzz-о-Sonic (BuzzMac International, LLC, U.S). Для расчета модуля упругости использовали формулу

 $E = 0.9465 \rho f^2 L^4 T_1/t^2,$

где E — модуль упругости, ГПа; ρ — плотность образца, г/см³; f — частота звуковых волн, Гц; L — диаметр образца, мм; T — фактор коррекции, зависящий от размеров образца; t — толщина образца, мм.

Для определения твердости по Виккерсу в образец правильной квадратной формы вдавливали алмазную пирамидку с углом между ее гранями 136° с выдержкой при нагрузке 10–15 с. С помощью установки «MicroDuromat 3500» получали фото отпечатков вдавливания при нагрузке. Твердость по Виккерсу рассчитывали по формуле

 $HV = P/S = 1.8544P/d^2$

где HV — твердость по Виккерсу, ГПа; P — нагрузка, приложенная к поверхности испытуемого образца, кг/см², $P=0.5\,$ МПа (5 кг/см²); S — площадь поверхности отпечатка, оставленного после вдавливания пирамидки, мм²; d — длина диагонали отпечатка, мм.

Площадь поверхности отпечатка рассчитывали следующим образом:

 $S = d^2/2 \cdot \sin(136^\circ/2) = d^2/1,8544.$

Предел прочности при сжатии спеченных образцов определяли с использованием оборудования «TONI Technik TT 0995». Для испытаний использовали образцы цилиндрической формы высотой 3 см и диаметром 30 мм с плоскопараллельными поверхностями, испытания проводили под нагрузкой 0,5 H/(мм²·с).

Твердость по Виккерсу и предел прочности при сжатии измеряли при 20 ± 2 °C, результаты, полученные для каждого из спеченных составов (см. таблицу) при конкретной температуре, отображали как среднее значение показателей 5 измерений.

РЕЗУЛЬТАТЫ

Состав фаз порошков карбида титана и нитрида титана, синтезированных плазмохимическим способом, показан на рентгенограммах (рис. 1). Состав фаз синтезированных порошков представлен в основном интенсивными дифракционными максимумами ТіС и ТіN с незначительным количеством оксикарбида титана. Данная фаза является нестехиометрическим составом карбида титана и содержит определенное количество непрореагировавших порошков TiO₂ и C.

Фазовый состав образцов, спеченных из смесей исходных компонентов плазменно-искровым методом в диапазоне $1200-1600\,^{\circ}$ С, показан на рис. 2, a– ∂ .

Повышение температуры от 1200 до 1600 °C способствует активной муллитизации образцов с различным соотношением TiC и TiN, причем наиболее интенсивно при 1200 и 1300 °C. Это объясняется вязкотекучим (пластическим) состоянием спекаемых порошков Al₂O₃ и SiO₂ и связанным с этим более активным переносом вещества между частицами порошков. С повышением температуры от 1400 до 1600 °C наблюдается прирост муллита, что объясняется структурированием и формированием его стехиометрического состава. По рентгенограммам образцов (см. рис. 2, $a-\partial$) видно, что взаимодействия муллита с TiC и TiN в диапазоне 1200-1600 °C не происходит, поскольку не образуется продуктов распада муллита, продуктов окисления (восстановления) карбида титана и нитрида титана.

В образцах (М50TiC50TiN, М70TiC30TiN и М90TiC10TiN) от 1200 до 1400 °С наблюдается постепенный рост содержания TiC по сравнению с наибольшим увеличением количества TiC в диапазоне 1400–1600 °С (см. рис. 2, θ – θ). Интенсивный рост содержания TiC при 1400–1600 °С связан с более развитым упорядочиванием и структурированием кристаллической решетки TiC в силу его наибольшей диффузии. Однако в образцах составов М10TiC90TiN и М30TiC70TiN и в образцах с различным соотношением TiC и TiN (см. таблицу) наблюдается постепенный

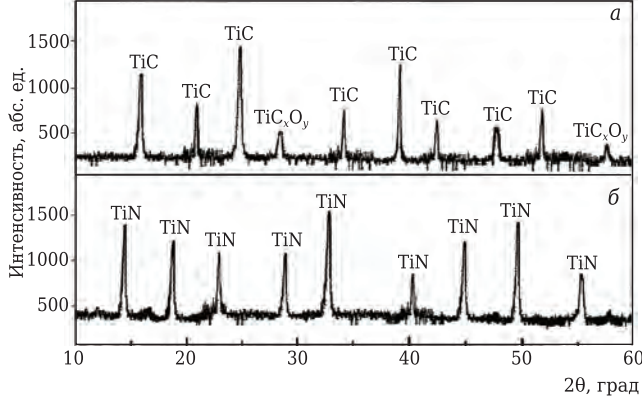
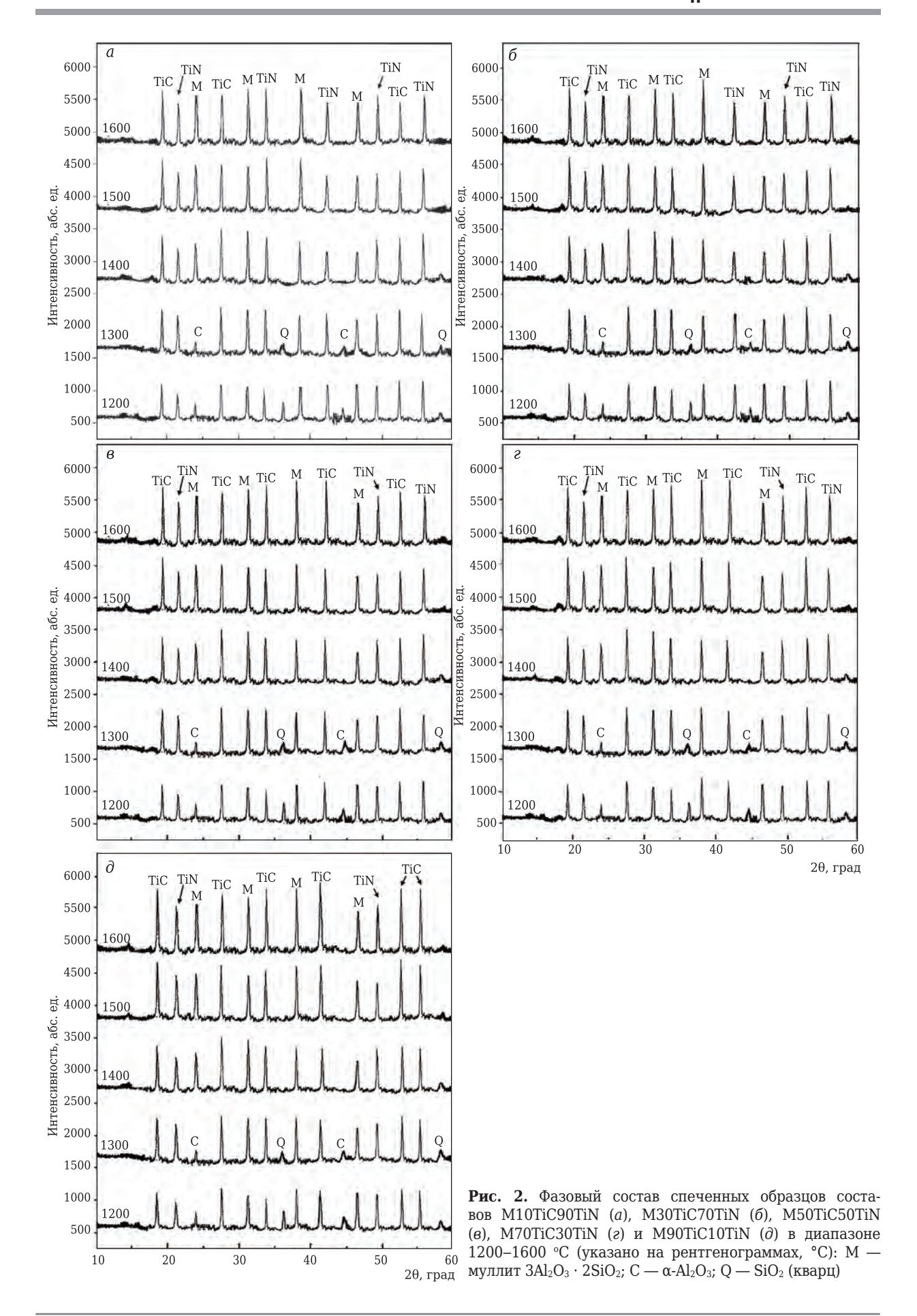
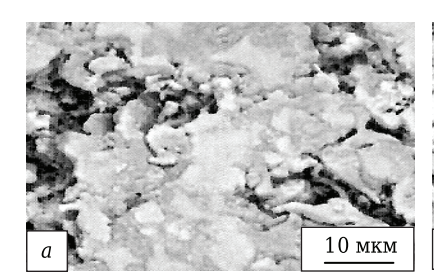
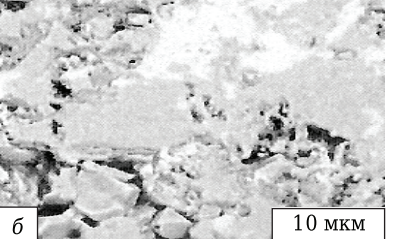


Рис. 1. Состав фаз порошков карбида титана (a) и нитрида титана (b), синтезированных плазмохимическим способом при 1600 °C, TiC_xO_y — оксикарбид титана







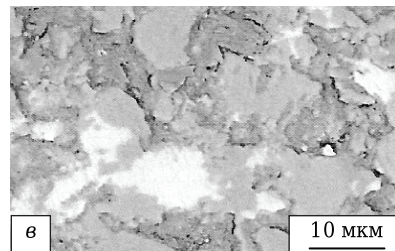


Рис. 3. Микроструктуры спеченных образцов составов M30TiC70TiN (a), M50TiC50TiN (б), M70TiC30TiN (в) при 1500 °C

рост содержания TiC (рис. 2, a, δ) и TiN (рис. 2, $a-\partial$) в диапазоне 1200–1600 °С. При этом формирования новых дифракционных максимумов TiC и TiN в диапазоне 1200–1600 °С на рентгенограммах образцов не наблюдается. Образцы различаются количественным соотношением дифракционных максимумов TiC и TiN (см. рис. 2, $a-\partial$) в зависимости от пропорций TiC и TiN в спекаемых составах (см. таблицу).

Микроструктура спеченных плазменно-искровым способом при $1500\ ^{\circ}\text{C}$ образцов показана на рис. 3.

Увеличение концентрации ТіС и уменьшение содержания ТіN в спекаемых смесях порошков способствует формированию микроструктур образцов, состоящих из равномерно и плотно спекшихся областей муллита в виде расплава в силу его наиболее развитых пластических свойств, достаточно спеченных областей

муллита и зерен TiC и TiN, относительно спекшихся зерен TiC и TiN. Формирование достаточно спеченных областей муллита и зерен TiC и TiN обусловлено интенсивно возрастающей диффузией TiN в совокупности с диффузией TiC и активным переносом вещества через расплав муллита с более полным заполнением пор веществом при 1500 °C.

Результаты определения относительной плотности, открытой пористости, линейной усадки, модуля упругости, твердости по Виккерсу, предела прочности при сжатии и отпечатки вдавливания на образцах с различным соотношением TiC и TiN в диапазоне 1200-1600 и при $1500\ ^{\circ}$ C показаны на рис. 4-6.

Увеличение относительной плотности, линейной усадки и снижение открытой пористости образцов составов M50TiC50TiN и M70TiC30TiN примерно до $1350\,^{\circ}$ C относительно интенсивное

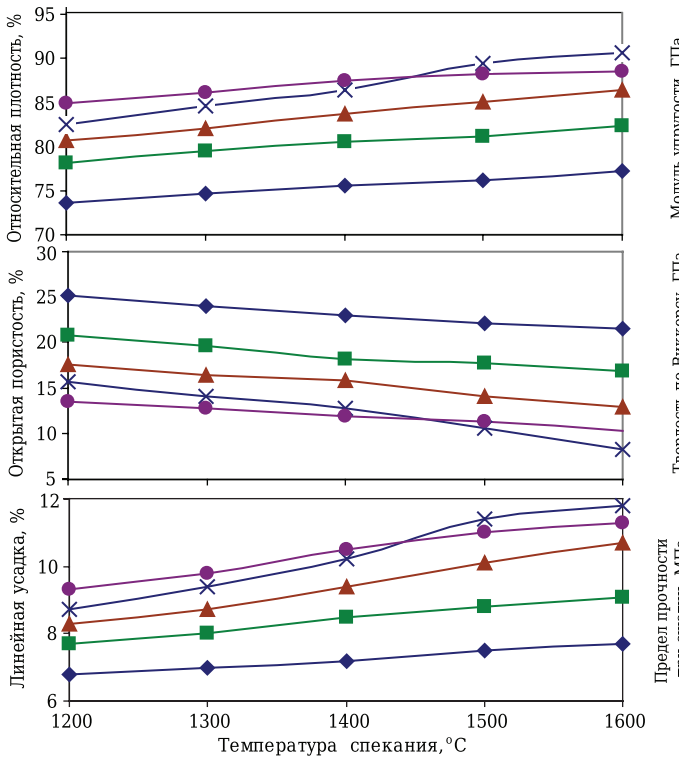
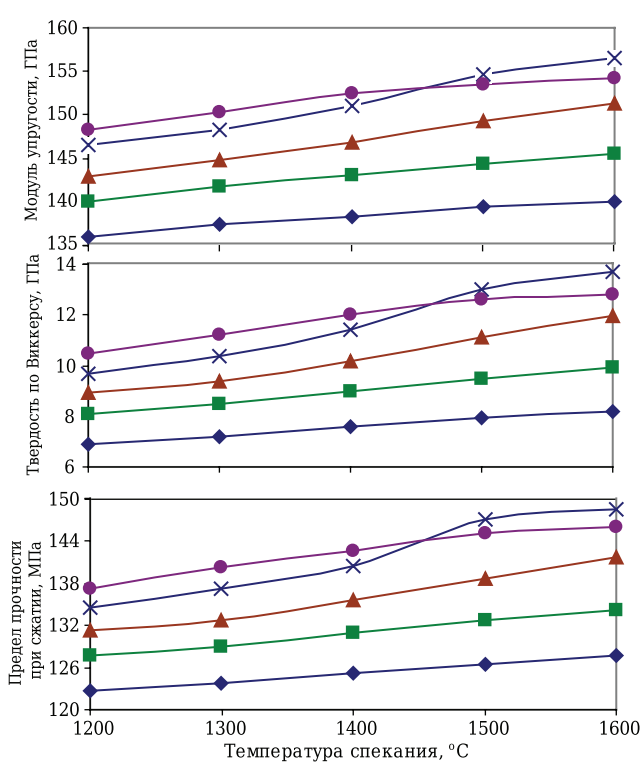
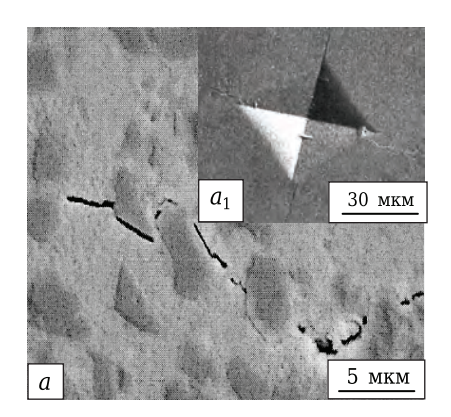
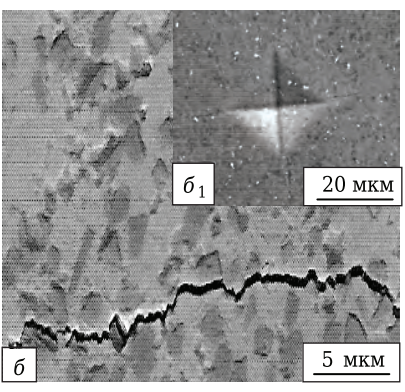


Рис. 4. Увеличение относительной плотности, открытой пористости и линейной усадки образцов с различным соотношением ТіС и ТіN в диапазоне 1200–1600 °С: ◆ — M10TiC90TiN: ■ — M30TiC70TiN; ▲ — M50TiC50TiN; × — M70TiC30TiN; ● — M90TiC10TiN







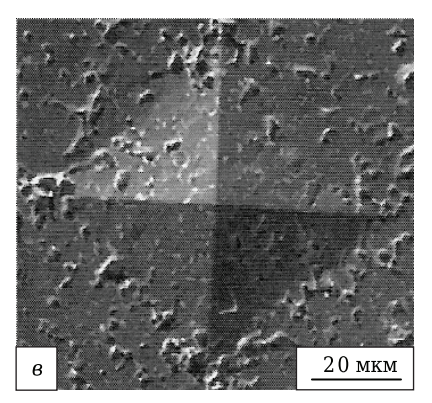


Рис. 6. Отпечатки вдавливания при измерении твердости по Виккерсу на спеченных образцах составов M30TiC70TiN (a), M50TiC50TiN (b) и M70TiC30TiN (b) с траекторией распространения микротрещины на образцах составов M30TiC70TiN и M50TiC50TiN при 1500 $^{\circ}$ C

по сравнению с наиболее активным ростом показателей свойств в диапазоне 1350–1600 °C. Различие объясняется разными механизмами спекания в каждом из температурных диапазонов.

При спекании составов до $\sim 1350~^{\circ}$ С поры заполняются в ходе вязкого течения порошков Al_2O_3 и SiO_2 , диффузии муллита с его частичным переходом в вязкотекучее состояние и незначительной диффузии TiC. При температурах от 1350 до 1600 $^{\circ}$ С наиболее активно возрастает вязкое течение муллита в поры, обусловленное его более развитыми пластическими свойствами, и интенсивно возрастает диффузия TiN.

В то же время рост относительной плотности и линейной усадки образца состава M70TiC30TiN интенсивнее увеличения этих показателей образца состава M50TiC50TiN в диапазоне 1350–1600 °C. Это объясняется наиболее активно возрастающей диффузией TiN в спекаемом образце состава M70TiC30TiN. При этом возрастающая диффузия TiN в спекаемых составах способствует росту содержания TiN в диапазоне 1400–1600 °C (см. рис. 2, в, г), что связано с возрастанием упорядочивания и структурирования кристаллической решетки TiN.

С увеличением интенсивности спекания возрастает вследствие роста активности переноса вещества рекристаллизация частиц, снижающая показатели свойств материалов [3]. В данном случае при относительно интенсивном спекании образцов составов M50TiC50TiN и M70TiC30TiN от 1200 до 1350 °C рекристаллизация частиц TiC и TiN незначительна. В ходе стремительного спекания образцов данных составов при 1350-1600 °C рост частиц ТіС и ТіN в каждом из них различный, исходя из интенсивности спекания составов. В то же время не наблюдается ухудшения физико-механических свойств образцов (см. рис. 5), а напротив, в образце состава М70ТіС30ТіN заметен более интенсивный рост показателей свойств, чем в образце состава M50TiC50TiN. Это указывает на менее активный рост частиц TiC и TiN в спекаемом образце состава M70TiC30TiN по сравнению с большей рекристаллизацией частиц в образце состава M50TiC50TiN. При спекании состава M70TiC30TiN TiC и TiN расходуются в основном на спекание, при спекании состава M50TiC50TiN диффузия TiC и TiN распределяется между спеканием и ростом частиц. При этом в последнем случае не наблюдается существенного уменьшения спекания. В то же время образец состава M70TiC30TiN спекается интенсивнее образца состава M90TiC10TiN в диапазоне 1350–1600 °C. Это связано с различиями рекристаллизации частиц TiC в спекаемых составах.

Образец состава M90TiC10TiN спекается активно в интервале 1200-1350 °C, равномерно заполняя поры веществом, с уменьшением интенсивности спекания в диапазоне 1350-1600 °C. Такой эффект обусловлен главным образом значительной рекристаллизацией, т. е. ростом частиц TiC в ходе наибольшей диффузии TiC при 90 мол. % от 1350 до 1600 °С, которая уменьшается при температуре ниже 1350 °C. В результате при температуре от 1200 до 1350 °C рост частиц ТіС незначительно влияет на спекание образца данного состава. Активному росту частиц ТіС от 1350 до 1600 °C способствует перенос вещества по границам некоторых слабоспекшихся зерен ТіС и ТіN. Это обусловлено соответственно сочетанием менее активного и недостаточного спекания частиц TiC и TiN при 90 и 10 мол. % соответственно. Таким образом, данный состав спекается менее интенсивно по сравнению с ростом частиц ТiС в интервале 1350-1600 °C.

Наиболее постепенным ростом спекания образцы составов M10TiC90TiN и M30TiC70TiN характеризуются в интервале 1200–1600 °C. Это связано с наименее активной диффузией ТiС при малом его содержании (10, 30 мол. %) и постепенно возрастающей, неполной диффузией ТiN при его высокой концентрации (90, 70 мол. %) наряду с выраженными в TiN ковалентными связями в спекаемых составах. В результате рекристаллизация частиц TiC минимальна, рост

частиц TiN в спекаемых составах в указанном температурном диапазоне отсутствует.

Интенсивность спекания образцов с различным соотношением TiC и TiN (см. рис. 4) влияет на рост показателей физико-механических свойств (см. рис. 5). Образцы с соотношениями TiC и TiN 50/50, 70/30 и 90/10 мол. % имеют большие значения показателей по сравнению с характеризующими образцы, в которых соотношения TiC и TiN 10/90 и 30/70 мол. %.

Однако рост твердости по Виккерсу и предела прочности при сжатии образцов составов M50TiC50TiN. M70TiC30TiN и M90TiC10TiN в интервале 1350-1600 °C существенно различается. Это связано с увеличением модуля упругости образцов. Наибольшее увеличение модуля упругости в данном температурном диапазоне показывает образец состава M70TiC30TiN. Это обусловлено наиболее интенсивно возрастающей диффузией TiN и TiC (рис. 2, г) и равномерным заполнением пор (см. рис. 4), формированием при 1500 °C более равномерной, плотно спеченной микроструктуры (см. рис. 3, в) и наименее активной рекристаллизацией частиц TiC и TiN. Незначительный рост частиц TiC и TiN существенно предотвращает образование и накопление внутренних напряжений на границах оксидной фазы и зерен TiC, TiN, а также зерен TiC, TiN, о чем можно судить по отсутствию микротрещин на рис. 6, в.

В свою очередь, наблюдаемая в образце состава M50TiC50TiN микротрещина распространяется вдоль границ оксидной фазы и зерен TiC, TiN по относительно прямолинейной траектории, имеющей некоторые изгибы (см. рис. 6, δ), с небольшой длиной их распространения и незначительным количеством (см. рис. 6, δ 1) вокруг отпечатка вдавливания. Такая характеристика микротрещины обусловлена равномерным спеканием и минимальным наличием границ оксидной фазы и зерен TiC, TiN в образце.

В диапазоне 1200–1350 °C наблюдается интенсивный рост физико-механических показателей

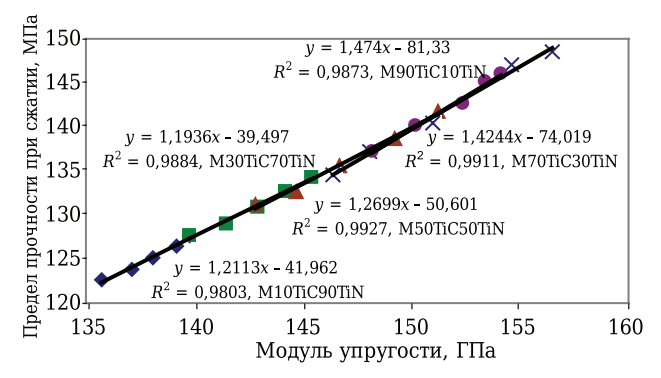


Рис. 7. Линейная корреляция модуля упругости и предела прочности при сжатии образцов при температуре от 1200 до 1600 °C: ◆ — M10TiC90TiN: ■ — M30TiC70TiN; ▲ — M50TiC50TiN; × — M70TiC30TiN; ● — M90TiC10TiN

образца состава M90TiC10TiN по сравнению с их плавным увеличением от 1350 до 1600 °С. В первом случае это объясняется активным заполнением пор веществом и связанным с этим ростом относительной плотности (см. рис. 4). Во втором случае влияет рекристаллизация частиц TiC, снижающая интенсивность спекания образца (см. рис. 4). В результате показатели свойств данного образца меньше значений, характерных для образца состава M70TiC30TiN в интервале 1350–1600 °С.

Образцы составов M10TiC90TiN M30TiC70TiN характеризуются постепенным ростом и низкими значениями показателей физикомеханических свойств в диапазоне 1200-1600 °C. Это обусловлено трудностями инициации и роста спекания составов, содержащих 90 и 70 мол. % ТіN, в сочетании с ковалентными связями ТіN (см. рис. 4), образованием слабоспеченных областей муллита и зерен TiC, TiN (см. рис. 3, a, состав M30TiC70TiN). В результате микротрещина распространяется вдоль границ оксидной фазы и зерен TiC, TiN по извилистой траектории (см. рис. 6, а). Количество и длина распространения микротрещин увеличиваются вокруг отпечатка вдавливания (см. рис. 6, a_1). Такое продвижение микротрещины обусловлено неравномерным спеканием и большим количеством границ оксидной фазы и зерен TiC, TiN в образце состава M30TiC70TiN вследствие наименее активной диффузии TiC и постепенно возрастающей, неполной диффузии TiN в диапазоне 1350-1600 °C (см. рис. 4). На отпечатке вдавливания образца (рис. 6, a_1) заметны небольшие повреждения (сколы). Это указывает на повышенную хрупкость образца состава M30TiC70TiN (рис. 3, a) изза неравномерного спекания, снижается также стойкость образца к трещинообразованию (см. рис. 6, а).

Результаты линейной корреляции модуля упругости и предела прочности при сжатии спеченных образцов показаны на рис. 7.

Для оценки влияния процессов, происходящих на микроструктурном уровне спекаемых образцов, на рост их показателей физикомеханических свойств, в частности модуля упругости и предела прочности при сжатии, а также для определения точности полученных данных использована линейная корреляция модуля упругости и предела прочности при сжатии образцов. Величины достоверности аппроксимации R^2 для каждого образца рассчитаны из соответствующей линейной корреляции указанных показателей.

Формирование равномерно спеченной микроструктуры образца (см. рис. 3, M70TiC30TiN) наибольшим образом способствует росту упругости и стойкости образца к внешней приложенной нагрузке (см. рис. 5), что видно по максимальному повышению линейной корреляции модуля упругости и предела прочности при

сжатии образца с увеличением R^2 и точности полученных данных. Практически аналогичные результаты получены для образца состава M50TiC50TiN. Наибольшая линейная корреляция показателей свойств образцов обусловлена также незначительной рекристаллизацией частиц TiC и TiN в них с ростом температуры от 1200 до 1600 °C. В то же время наблюдается большее отклонение линейной прямой относительно точек (значений) модуля упругости и предела прочности при сжатии образца состава M90TiC10TiN, снижение линейной корреляции данных показателей с уменьшением R^2 и точности их определения. Это указывает на образование менее равномерно спеченной микроструктуры образца и связано с наибольшим ростом частиц TiC и TiN в диапазоне от 1350 до 1600 °C (см. рис. 4). Аналогичные величины R² с незначительным отклонением линейных прямых относительно точек (значений) модуля упругости и предела прочности при сжатии получены для образцов составов M10TiC90TiN и M30TiC70TiN, что обусловлено неравномерно спекшейся микроструктурой с наличием границ областей муллита и зерен TiC, TiN в образце (рис. 3, M30TiC70TiN). Наблюдается постепенное увеличение упругости и стойкости образцов к внешней приложенной нагрузке в интервале 1200-1600 °С (см. рис. 5). В результате образцы с 10 и 30 мол. % ТіС характеризуются большими линейной корреляцией и точностью определения модуля упругости и предела прочности при сжатии. Образец с 10 мол. % ТіС характеризуется меньшим значением R^2 по сравнению с величиной R^2 для образца с 30 мол. % TiC. Это объясняется различием роста указанных показателей свойств образцов. Показатели образцов находятся на одной линии, что указывает на примерно схожие процессы, развивающиеся на микроструктурном уровне образцов спекаемых составов в диапазоне от 1200 до 1600 °C.

ЗАКЛЮЧЕНИЕ

В работе показан состав фаз синтезированных порошков карбида титана и нитрида титана, приведены результаты определения фазового

Библиографический список

- 1. **Ryu, H. J.** Sintering behaviour and microstructures of carbides and nitrides for the inert matrix fuel by spark plasma sintering / H. J. Ryu, Y. W. Lee, S. H. Hong // J. Nucl. Mat. 2006. Vol. 352, New 1-3. P. 341-348.
- 2. **Sciti, D.** Spark plasma sintering of ultra refractory compounds / D. Sciti, M. Nygren // J. Mat. Sci. 2008. Vol. 43, N_2 5. P. 6414–6421.
- 3. *Cheng, L.* Densification and mechanical properties of TiC by SPS-effects of holding time, sintering temperature and pressure condition / *L. Cheng, Z. Xie, G. Liu, W. Liu*

состава, микроструктуры, относительной плотности, открытой пористости, линейной усадки, модуля упругости, твердости по Виккерсу, предела прочности при сжатии и линейной корреляции модуля упругости и предела прочности при сжатии образцов системы муллит-TiC-TiN с различным соотношением TiC и TiN, спеченных плазменно-искровым способом при 1200–1600 °C с усилием прессования 30 МПа.

Синтезированные порошки TiC и TiN характеризуются интенсивной кристаллизацией и содержат незначительное количество непрореагировавшего оксикарбида титана в порошке TiC.

Спеченные образцы с различным соотношением TiC и TiN характеризуются интенсивной муллитизацией в диапазоне 1200-1600 °C. В образцах с соотношением TiC/TiN 50/50, 70/30 и 90/10 мол. % наблюдается постепенный рост содержания ТіС до 1400 °С и более интенсивный от 1400 до 1600 °C. В образцах с соотношением TiC/TiN 10/90 и 30/70 мол. % происходит постепенный рост содержания TiC и TiN в интервале 1200-1600 °C. Увеличение концентрации ТіС и уменьшение содержания TiN в спекаемых смесях порошков способствуют формированию при 1500 °С микроструктуры образца, состоящей из равномерных плотно спеченных областей муллита, муллита и зерен TiC, TiN с наличием пор небольших размеров. Образцы с соотношениями TiC/TiN 50/50 и 70/30 мол. % характеризуются более интенсивным увеличением относительной плотности, линейной усадки, снижением открытой пористости и имеют их более высокие показатели по сравнению с образцами, в которых соотношение TiC/TiN 90/10, 30/70 и 10/90 мол. %, в диапазоне 1350-1600 °C. Это способствует наибольшему увеличению модуля упругости, твердости по Виккерсу и предела прочности при сжатии образцов, что повышает их стойкость к трещинообразованию, микротрещины формируются с относительно прямолинейной траекторией распространения и с отсутствием их вокруг отпечатков вдавливания. В результате образцы составов М70ТіС30ТіN и М50ТіС50ТіN характеризуются наибольшей линейной корреляцией модуля упругости и предела прочности при сжатии в интервале 1200-1600 °C.

- // J. Europ. Ceram. Soc. 2012. Vol. 32, Ne 12. P. 3399–3406.
- 4. **Wei**, X. Zirconium carbide produced by spark plasma sintering and hot pressing: densification kinetics, grain growth, and thermal properties / X. Wei, Ch. Back, O. Izhvanov [et al.] // Mat. 2016. Vol. 577, N_{\odot} 9. P. 1–16.
- 5. *Hotta, M.* Spark plasma sintering of TiN cubic BN composites / *M. Hotta, T. Goto* // J. Ceram. Soc. Jap. 2010. Vol. $118, \, \text{Ne} \, 2.$ P. 137-140.

- 6. **Li, Y.** Spark plasma sintering of TiC–ZrC composites / Y. Li, H. Katsui, T. Goto // Ceram. Int. 2015. Vol. 41, N_2 5. P. 7103–7108.
- 7. **Niu, B.** Effect of solid solution formation on densification of spark plasma sintered ZrC ceramics with TiC as sintering aid / B. Niu, F. Zhang, W. Ji, J. Y. Zhang // Adv. Apll. Ceram. 2016. Vol. 115, N 1. P. 55–59.
- 8. *Hotta, M.* Densification and microstructure of Al_2O_3 cubic BN composites prepared by spark plasma sintering / *M. Hotta, T. Goto* // J. Ceram. Soc. Jap. 2008. Vol. 116, No. 6. P. 744–748.
- 9. **Hotta, M.** Densification, phase transformation and hardness of mullite-cubic BN composites prepared by spark plasma sintering / M. Hotta, T. Goto // J. Ceram. Soc. Jap. 2010. Vol. 118, No. 2. P. 157–160.
- 10. *Ghahremani*, *D*. Densification, microstructure and mechanical properties of mullite TiC composites prepared by spark plasma sintering / *D*. *Ghahremani*, *T*.

- E. Ebadzadeh // Ceram. Inter. 2015. Vol. 41, № 2. P. 1957–1962.
- 11. *Klimczyk, P.* Al_2O_3 -cBN composites sintered by SPS and HPHT methods / *P. Klimczyk, M. E. Cura, A. M. Vlaicu* // J. Europ. Ceram. Soc. 2016. Vol. 36, № 7. P. 1783–1789.
- 12. **Хмелёв, А. В.** Получение муллит-ТіС-ZrС-керамических материалов плазменно-искровым способом и их свойства / А. В. Хмелёв // Новые огнеупоры. 2016. \mathbb{N} 12. С. 36-41.

-2016. — № 12. — C. 36–41. *Hmelov, A. V.* Preparation of mullite-TiC-ZrC ceramic materials by a plasma – ARC method and their properties / *A. V. Hmelov* // Refract. Ind. Ceram. — 2017. — Vol. 57, № 6. — P. 645–650.

> Получено 29.05.17 © А.В.Хмелёв, 2017 г.

НАУЧНО-ТЕХНИЧЕСКАЯ ИНФОРМАЦИЯ



12 International Exhibition & Conference

MATERIALS 29 - 31 August 2018
Pragati Maidan, New Delhi, India



MINERALS, METALS, METALLURGY & MATERIALS 2018 (MMMM)

12-я Международная выставка металлургической и горнодобывающей промышленности

29–31 августа 2018 г. г. Дели, Индия

Тематика:

- оборудование и технологии для производства металлов
- сталелитейное оборудование
- прокатные станы
- производство алюминия, меди, цинка, свинца
- производства нержавеющей стали
- производство труб и трубопроводов
- производство и обработка листового металла
- огнеупоры
- оборудование и технологии для горнодобывающей промышленности
- подъемно-транспортное оборудование
- технологии металлообработки
- оборудование для литья, формовки и ковки металлов
- обработка поверхностей и защита от коррозии
- оборудование и технологии для сварки и резки
- системы автоматизации
- контрольно-измерительное оборудование
- технологии безопасности и средства защиты и др.

http://www.mmmm-expo.com/